

**Πολυτεχνείο Κρήτης**

**Σχολή ΗΜΜΥ**

**Τηλεπικοινωνιακά Συστήματα Ι**

Παράδοση 2<sup>ης</sup> εργασίας

Ημερομηνία Παράδοσης: 16 Μαΐου 2023

Μονάδες 100/1000

**Ομάδα 121**

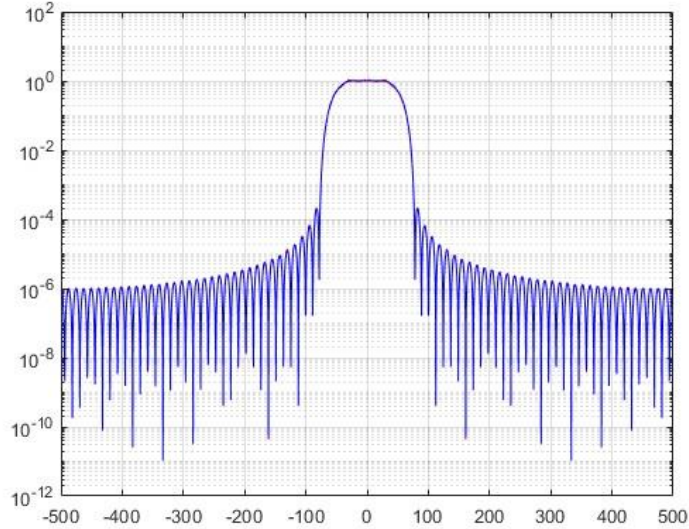
	Φοιτητής 1	Φοιτητής 2
Επώνυμο	Αγγελόπουλος	Χούλης
Όνομα	Δημήτριος	Χαράλαμπος
A.M.	2020030038	2020030023

Ώρες ενασχόλησης :

MATLAB (6 ώρες) – Αναφορά (1 ώρα)

### A.1

Αφού δημιουργήσουμε τον παλμό SRRC υπολογίζουμε και σχεδιάζουμε την φασματική πυκνότητα ενέργειας σε λογαριθμικό κατακόρυφο άξονα και έχουμε :



### A.2

Δημιουργούμε μία ακολουθία 100 ανεξάρτητων και ισοπίθανων bits και τα απεικονίζουμε με βάση την διαμόρφωση 2-PAM για να πάρουμε την συμβολοσειρά  $X_n$ .

Στην συνέχεια θέλουμε να κατασκευάσουμε την κυματομορφή

$$X(t) = \sum_{n=0}^{N-1} X_n \phi(t - nT) \quad (*)$$

Αυτό τον επιτυγχάνουμε κάνοντας upsample κατά over την  $X_n$  και εφαρμόζοντας συνέληξη αυτής με τον παλμό SRRC.

Η φασματική πυκνότητα ισχύος δίνεται από τον τύπο

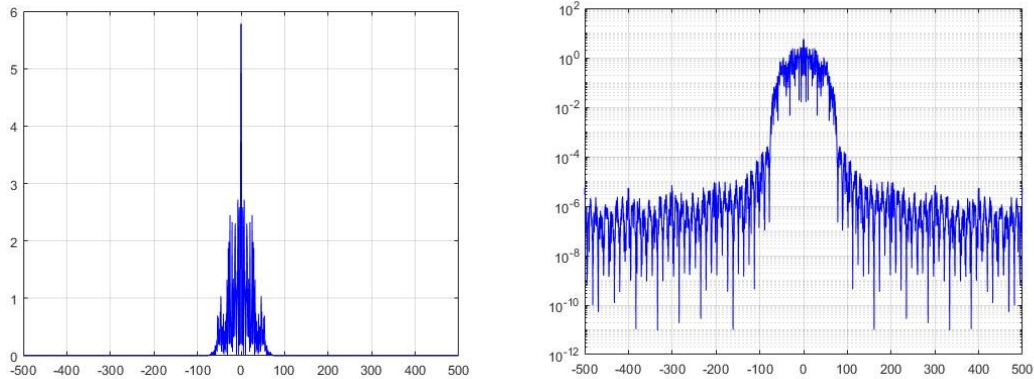
$$S_X(F) = \frac{\sigma_X^2}{T} |\Phi(t)|^2$$

### A.3

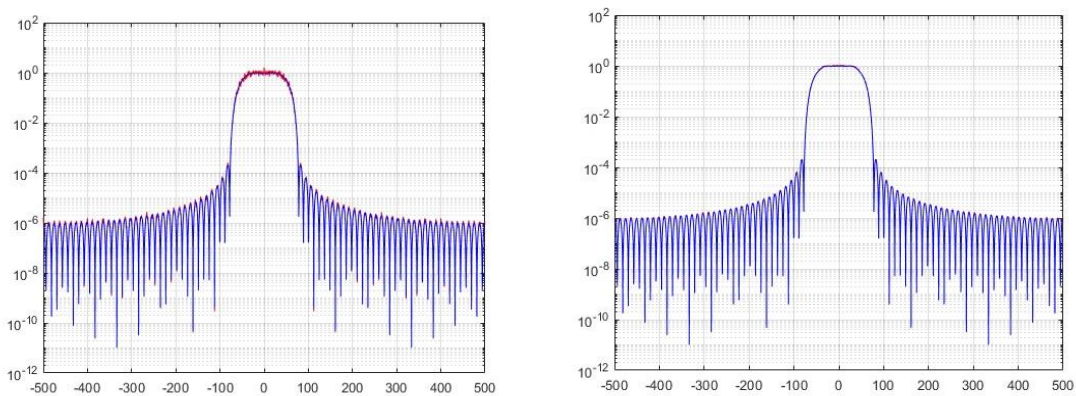
Υπολογίζουμε το περιοδόγραμμα της  $X(t)$

$$P_X(F) = \frac{|\mathcal{F}[X(t)]|}{T_{total}}$$

Το σχεδιάζουμε με χρήση του MATLAB και έχουμε :



Χρησιμοποιώντας  $K = 50$ , 500 υλοποιήσεις περιοδογραμμάτων θα σχεδιάσουμε την εκτίμηση της φασματικής πυκνότητας ισχύος και θα έχουμε :

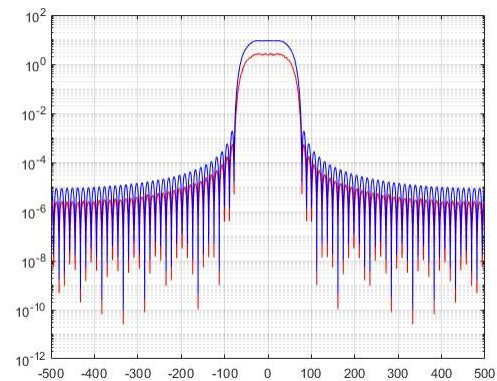
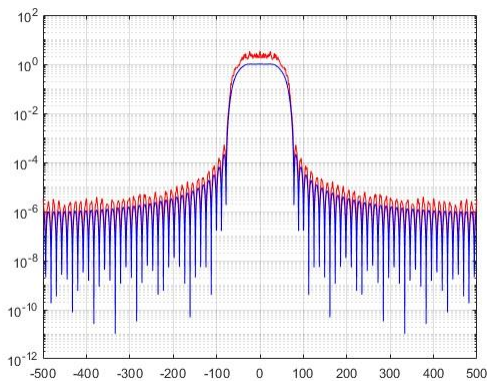
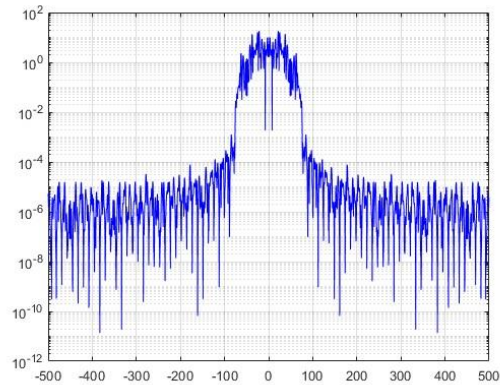
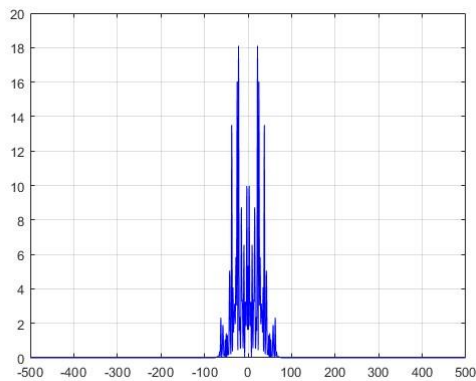


Αριστερά φαίνεται η υλοποίηση για  $k = 50$ . Παρατηρούμε ότι με αύξηση του  $k$  παίρνουμε όλο και καλύτερη προσέγγιση της φασματικής πυκνότητας ισχύος. Παράλληλα για αύξηση του  $N$  δημιουργούμε παραπάνω σύμβολα από bits λαμβάνοντας περισσότερη πληροφορία για την

στοχαστική διαδικασία και ως απότοκο αποτυπώνοντας την φασματική πυκνότητα με μεγαλύτερη ακρίβεια.

#### A.4

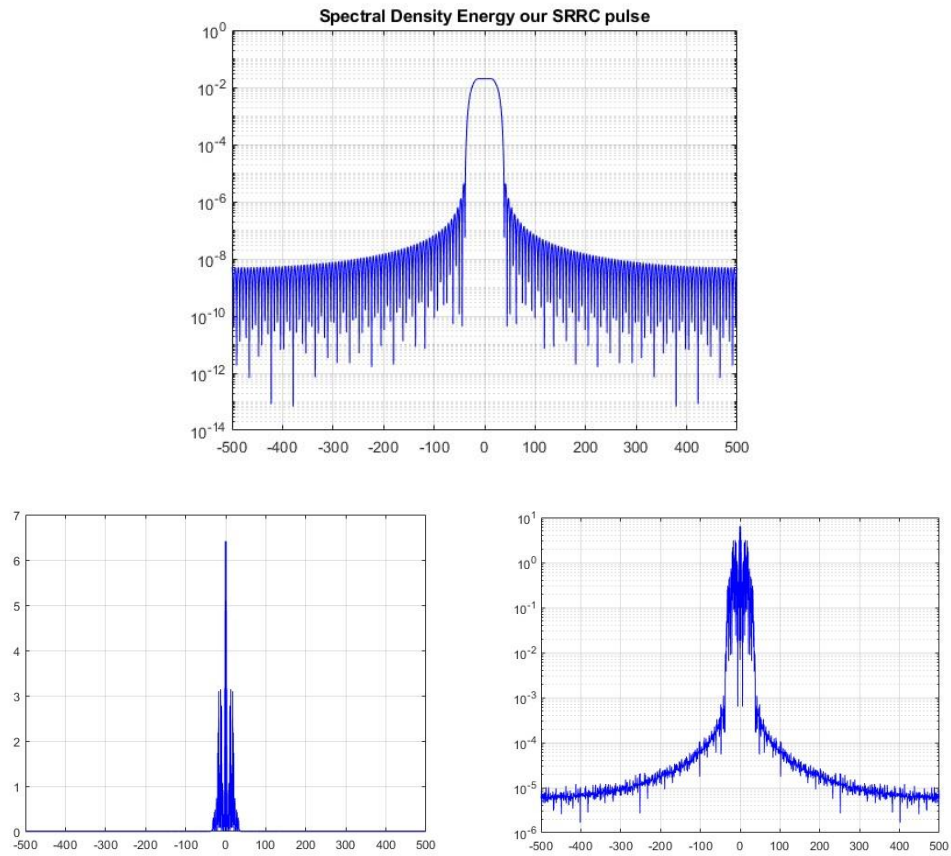
Σε αυτό το ερώτημα δημιουργούμε  $N/2$  σύμβολα από δύο πηγές bit και τα διαμορφώνουμε με χρήση 4-PAM. Χρησιμοποιώντας τον ίδιο SRRC παλμό κατασκευάζουμε την κυματομορφή (\*) και επαναλαμβάνουμε την παραπάνω διαδικασία για  $\kappa = 50, 500$ .



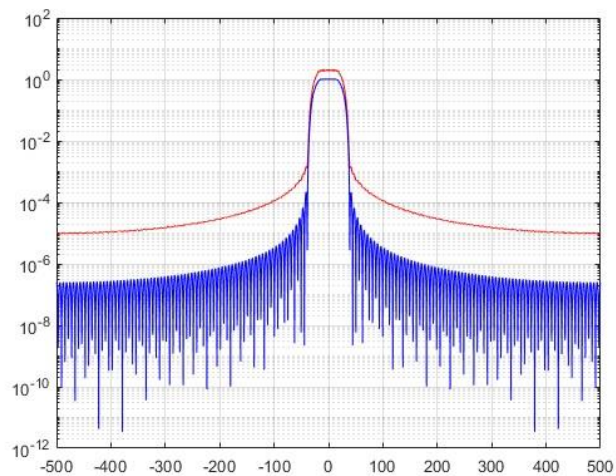
Σε αυτήν την περίπτωση παρατηρούμε αύξηση ως προς το μέγιστο πλάτος αλλά όχι ως προς το εύρος φάσματος. Αυτό είναι λογικό διότι το πλάτος είναι ανάλογο της διασποράς variance η οποία είναι μεγαλύτερη σε υλοποίηση 4Pam.

## A.5

Επαναλαμβάνουμε το βήμα A3 αλλά για διπλάσια περίοδο και over αντίστοιχα και παίρνουμε SRRC παλμό και περιοδόγραμμα :



Στην συνέχεια για  $k = 500$  παίρνουμε την εκτίμηση :



Σε αυτό το πείραμα παρατηρούμε ότι το πλάτος έχει μείνει σταθερό αλλά το εύρος φάσματος έχει υποδιπλασιαστεί. Λογικό αφού διπλασιάσαμε την περίοδο η οποία είναι αντιστρόφως ανάλογη της συχνότητας.

## A.6

Όσον αφορά σε θέματα ταχύτητας, η 4PAM μέθοδος υπερτερεί της 2PAM. Αυτό οφείλεται στο γεγονός ότι κάθε σύμβολο μεταφέρει πληροφορία 2 bits.

Σε περίπτωση που το εύρος φάσματος είναι ακριβό, θα προτιμήσουμε μία μεγαλύτερη περίοδο συμβόλου  $T'=2T$  η οποία θα μειώσει το κόστος της διάταξης (Η περίοδος είναι αντιστρόφως ανάλογη του εύρους φάσματος).

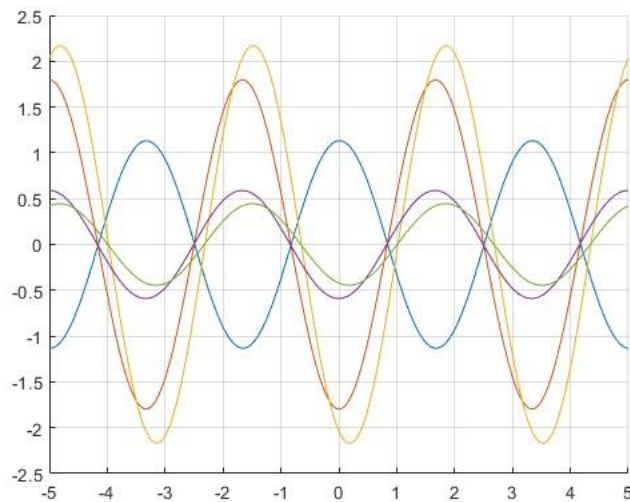
## B

Θα μελετήσουμε την στοχαστική διαδικασία

$$Y(t) = X \cos(2\pi F_0 t + \Phi)$$

### 1.

Αρχικά θα σχεδιάσουμε σε κοινό plot 5 διαφορετικές υλοποιήσεις της.



2.

$$E[Y(t)] = E[X \cos(2\pi F_0 t + \Phi)]$$

Αφού οι  $X, \Phi$  είναι ανεξάρτητες τυχαίες μεταβλητές έχουμε

$$E[Y(t)] = E[X]E[\cos(2\pi F_0 t + \Phi)] = 0$$

Διότι η  $X$  είναι λευκός θόρυβος, δηλαδή έχει μέση τιμή 0 και διασπορά 1.

Η  $X$  είναι στάσιμη υπό την ευρεία έννοια.

$$R_{YY}(t + \tau, t) = E[Y(t + \tau), Y(t)]$$

$$R_{YY}(t + \tau, t) = E[X^2]E[\cos(2\pi F_0(t + \tau) + \Phi)\cos(2\pi F_0 t + \Phi)]$$

Έστω η στοχαστική διαδικασία

$$Z(t) = \cos(2\pi F_0 t + \Phi)$$

Τότε

$$R_{YY}(t + \tau, t) = E[Z(t + \tau)Z(t)] = E[Z^2]$$

$$R_{YY}(t + \tau, t) = \frac{1}{2} \cos(2\pi F_0 \tau)$$

3.

Τέλος θα υπολογίσουμε την φασματική πυκνότητα ισχύος

$$S_Y(F) = \mathcal{F}\{R_Y(\tau)\} = \frac{1}{2} \mathcal{F}\{\cos(2\pi F_0 \tau)\}$$

Άρα

$$S_Y(F) = \frac{1}{4} (\delta(F - F_0) + \delta(F + F_0))$$